

УДК 621.313

*Рассмотрена методика расчета оптимальных режимов работы тягового привода на основе реактивного индукторного двигателя.*

**Б. Г. Любарский**, канд. техн. наук  
Национальный технический  
университет «Харьковский  
политехнический университет»

## ОПТИМАЛЬНЫЕ РЕЖИМЫ РАБОТЫ ТЯГОВОГО ПРИВОДА НА ОСНОВЕ РЕАКТИВНОГО ИНДУКТОРНОГО ДВИГАТЕЛЯ

Современный подвижной состав железных дорог создаётся в основном на основе тяговых приводов на базе двигателей переменного тока [1, 2]. Наибольшее развитие получил асинхронный тяговый привод, однако в последнее время все большее распространение находит тяговый привод на основе реактивного индукторного двигателя (РИД), отличающийся еще большей надежностью, простотой конструкции и меньшими затратами при производстве [1, 2]. В работе [3] рассматривается управление тяговым приводом на основе РИД по критерию минимума пульсаций электромагнитного момента и КПД двигателя, однако такие режимы не являются оптимальным по критерию суммарного КПД так, как структура потерь в тяговом приводе достаточно сложна и включает в себя потери, как в двигателе, так и в преобразователе.

Цель работы: разработать методику оптимизации режимов тягового привода на основе реактивного индукторного двигателя по критерию максимума его КПД.

Параметрами для оценки эффективности тягового привода рационально ток секции  $I_c$ , коэффициент модуляции ( $K_m$ ) величина которого определяет значение тока тягового привода, и  $\beta$  – интервала подачи напряжения на обмотку. В качестве критерия, как сказано выше выбираем КПД привода  $\eta$ .

Потери в тяговом в преобразователе и ЭМП зависят как от вектора режима

работы тягового привода  $\begin{bmatrix} M_{\text{зад}} \\ n_{\text{зад}} \\ t_{\text{зад}} \end{bmatrix}$  (частоты вращения, момента на валу и температуры),

так и от параметров управления – режима работы привода, коэффициента модуляции и скольжения. Поэтому задача определение эффективности тягового привода сводится к нахождению функции:

$$\text{MAX } \eta = f \left( \begin{bmatrix} M_{\text{зад}} \\ n_{\text{зад}} \\ t_{\text{зад}} \end{bmatrix} \right)_{\text{var}} \begin{bmatrix} I_c \\ K_m \\ \beta \end{bmatrix},$$

где  $\begin{bmatrix} I_c \\ K_m \\ \beta \end{bmatrix}$  – вектор параметров управления, составляющие которого: режим работы привода, коэффициент модуляции и скольжение соответственно. Для решения такой задачи предлагается применять методы условной минимизации функции.

ШАГ 1. Задаемся величинами  $n$ ,  $M_{\text{эл}}$  и  $\beta$ .

ШАГ 2. Определяем величину фазного тока:

$$I_c = \frac{4M_{\text{зл}}\delta}{Z_p \mu_0 D l \alpha_s \frac{k_L}{k_{\text{нac}}} w_z^2 (1 - \cos \beta)}$$

где  $Z_p$  - число зубцов ротора,  $I_c$  - ток секции статора,  $D$  - диаметр расточки статора,  $l$  - длина статора,  $\delta$  - минимальная длина воздушного зазора,  $\alpha_s$  - полюсное перекрытие,  $k_L$  - коэффициент амплитуды первой гармоники тока,  $w_z$  - число витков секции.

ШАГ 3. Определяем электромагнитную мощность и момент по [4]:

$$M_{\text{зл}} = Z_p \frac{I_c^2}{4} \mu_0 \frac{D l}{\delta} \alpha_s \frac{k_L}{k_{\text{нac}}} w_z^2 (1 - \cos \beta),$$

$$P_{\text{зл}} = M_{\text{зл}} n$$

ШАГ 4. Определяем потери в двигателе и преобразователе по методикам приведенным в [4, 5]. Для частоты питания

$$f_{\text{sw}} = \frac{Z_p n}{60},$$

где  $Z_p$  - число зубцов ротора

ШАГ 5. Определяем подводимую мощность на звене постоянного тока:

$$P_1 = P_2 + \sum p$$

ШАГ 6. КПД привода:

$$\eta = \frac{P_2}{P_1}$$

ШАГ 7. Определяем ток в звене постоянного тока:

$$I_d = \frac{P_1}{U_d},$$

и коэффициент модуляции:

$$K_m = \frac{\beta m}{\pi} \frac{I_c}{I_d}$$

При решении задачи оптимизации на параметры накладываются ограничения - в виде неравенств:

$$I_c < I_{\text{max}}$$

$$1 \geq K_m \geq 0$$

где  $I_{\text{max}}$  - максимальный допустимый фазный ток секции РИД;

- и в виде равенства:

$$M_2 = M_{\text{зад}}$$

Проверка адекватности математической модели расчете параметров РИД производится путем сравнения результатов тяговой характеристики реактивного индукторного тягового двигателя НТИ 350 проводимых в Южно-Российский государственный политехнический университет (Новочеркасск, Россия) и

приведенных [3], с данными полученных по результатам расчетов задачи анализа ЭМП РИД приведенных в предыдущем пункте. Результаты приведены в табл.

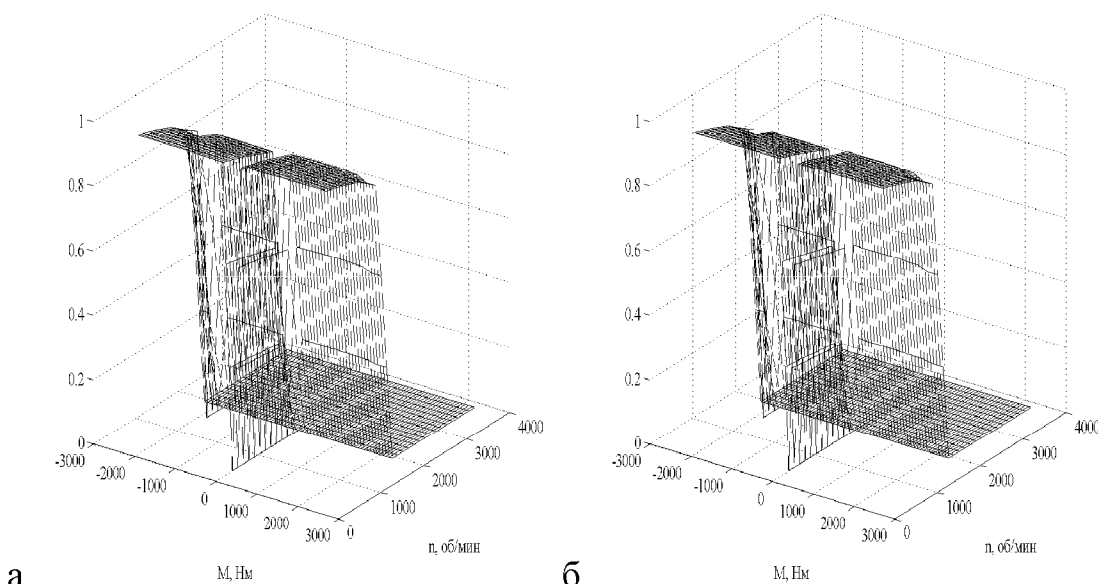
**Таблица**  
**Характеристики РИД**

Мощность на валу, кВт	160	300	390	402	314	264
Момент на валу, Нм	3820	3580	3100	2400	1500	1050
Частота вращения, об/мин	400	800	1200	1600	2000	2400
КПД полученнное по результатам [3], о.е.	0,86	0,92	0,94	0,93	0,92	0,9
КПД по результатам расчетов, о.е.	0,8583	0,9184	0,9383	0,9312	0,9210	0,9027
Суммарные потери по [3], кВт	26,05	26,08	24,86	30,27	27,32	29,32
Суммарные потери по расчету, кВт	26,42	26,65	25,61	29,71	26,95	28,44
Отклонение, %	1,41	2,18	3,02	1,84	1,36	2,99

Как видно из приведенных данных максимальное отклонение при расчете потерь составляет 3,02%, что вполне допустимо для проводимых расчетов.

Для решения задачи оптимизации, как и для АТД, использован пакет *optlab* для MATLAB разработанный в НТУ «ХПИ» [6, 7]. Наилучшие результаты по времени решения поставленной задачи показал так же метод циклического покоординатного спуска.

В качестве объекта для решения задачи оптимального управления выбран РИД НТИ 350 рассмотренный в [3]. Результаты оптимизации приведены на рисунке.



а

б

M, Нм

M, Нм

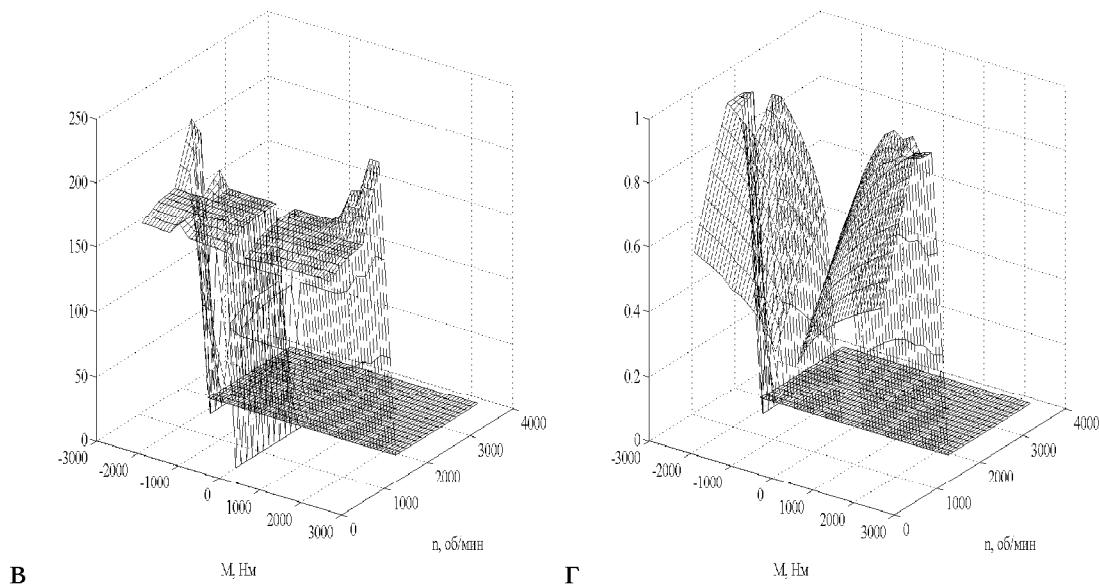


Рис. – Оптимальное значение КПД привода (а), двигателя (б), интервала подачи напряжения на обмотку (в) и коэффициента модуляции (г) при температуре 96°C

На рисунке значение параметра равное нулю соответствует зоне в которой не было найдено решения, что соответствует ограничениям принятым при решении задачи оптимизации. Как видно из рисунка КПД привода на основе РИД имеют значительную зону, в которой не было найдено решения, невозможностью реализации требуемого момента в связи с уменьшением тока фазы. При малых скоростях движения регулирование преимущественно осуществляется за счет изменения коэффициента модуляции напряжения в фазе. При больших же значениях мощности путем увеличения интервала подачи напряжения на обмотку. При увеличении температуры КПД привода и двигателя незначительно снижаются, но характер зависимостей остается неизменным.

### Выводы:

- Предложено определение оптимальных режимов работы тягового привода производить на основе решения задачи условной максимизации критерием которой является КПД привода.
- Разработана задача анализа и предложен алгоритм ее решения по нахождения КПД тягового привода на основе реактивного индукторного двигателя учитывающий потери в тяговом двигателе и полупроводниковом преобразователе.
- Параметрами для оценки эффективности тягового привода рационально ток секции, коэффициент модуляции, величина которого определяет значение тока тягового привода, и интервала подачи напряжения на обмотку.
- Доказана достоверность решения задачи анализа на примере расчета тяговой характеристики тягового двигателя НТИ 350.
- Определены оптимальные режимы работы тягового привода на основе РИД НТИ 350.

### Литература

- В. И. Омельяненко, Б. Г. Любарский, Е. С. Рябов, А. В. Демидов, Т. В. Глебова. Анализ и сравнение перспективных тяговых электродвигателей // Залізничний транспорт України.– 2008. – №2/1. – С. 26–31.

2.В. И. Омельяненко, Б. Г. Любарский, Е. С. Рябов, А. В. Демидов, Т. В. Глебова  
 Электродвигатели для перспективного электроподвижного состава // Локомотив-інформ. – 2008. – №1. – С. 16–19.

3. Киреев А.В. Разработка алгоритмов эффективного управления тяговым вентильно-индукторным электроприводом электропоезда [Текст] / А.В.Киреев // дисс. ... канд. техн. наук. – Новочеркасск. 2004. –184 с.

4.Ткачук В. І. Електромеханотроніка: Підручник для студ. електромеханічного профілю вищ. навч. закладів України / Національний ун-т Львівська політехніка. — Л. : Видавництво Національного ун-ту Львівська політехніка, 2006. — 440с.

5. Рябов Е.С. Безредукторный тяговый привод на основе реактивного индукторного двигателя с аксиальным магнитным потоком для скоростного электроподвижного состава [Текст] / Е.С. Рябов // дисс. ... канд. техн. наук. – Харьков. 2011 – 162с.

6. Северин В. П., Никулина Е. Н. Методы одномерного поиска. - Харьков. : НТУ ХПИ, 2013. – 124 с.

7. Химмельблау Д. Прикладное нелинейное программирование: Пер. с англ. – М.: Мир, 1975. – 534 с.

## ОПТИМАЛЬНИЙ РЕЖИМ РОБОТИ ТЯГОВОГО ПРИВОДУ НА ОСНОВІ РЕАКТИВНОГО ІНДУКТОРНОГО ДВИГУНА

Б. Г. Любарський

*Розглянуто методику розрахунку оптимальних режимів роботи тягового приводу на основі реактивного індукторного двигуна*

OPTIMAL MODE TRACTION DRIVE BASED REACTIVE INDUCTOR ENGINE

B. G. Lubarsky

*The method of calculating the optimal modes of traction drive based jet engine inductor.*